

8. DELME-PATLATMA SEMPOZYUMU

BİLDİRİLER KİTABI

PROCEEDINGS OF THE 8th DRILLING-BLASTING SYMPOSIUM

19-20 Kasım/November 2015, İstanbul



EDITÖRLER/EDITORS

Ümit ÖZER

Abdulkadir KARADOĞAN

Türker HÜDAVERDİ

Ülkü KALAYCI

Meric Can ÖZYURT



TMMOB
MADEN MÜHENDİSLERİ ODASI
İSTANBUL ŞUBESİ



MADEN MÜHENDİSLERİ ODASI MERKEZ YÖNETİM KURULU
THE EXECUTIVE BOARD OF THE CHAMBER OF MINING ENGINEERS

Başkan : Ayhan YÜKSEL
II. Başkan : Hüseyin Can DOĞAN
Yazman : Necmi ERGİN
Sayman : Mehmet ÖZYURT
Üyeler : Emre DEMİR
 Mehmet ZAMAN
 Emra ERGÜZELOĞLU

MADEN MÜHENDİSLERİ ODASI İSTANBUL ŞUBESİ YÖNETİM KURULU
THE EXECUTIVE BOARD OF THE CHAMBER OF MINING ENGINEERS ISTANBUL
BRANCH

Başkan : Nedret DURUKAN
II.Başkan : Nihat Alpin MÜTEVELLİOĞLU
Yazman : Hürriyet DEMİRHAN
Sayman : Selçuk ŞİMŞEK
Üyeler : Burhan ERDİM
 Zeynep SERTABİPOĞLU
 Büşra ERTUĞRUL

© Kasım 2015. Tüm hakları saklıdır.
TMMOB Maden Mühendisleri Odası'nın yazılı izni olmaksızın bu kitap ya da kitabın bir kısmı herhangi bir biçimde çoğaltılamaz, yayınlanamaz.

ISBN: 978-605-01-0787-6

Basım Yeri:
Dinç Ofset Mat. Rek. San. ve Tic. Ltd. Şti.
Davutpaşa Cad. Eminönü Matbaacilar Sitesi
No: 103/580-581 Topkapı /Zeytinburnu/İstanbul
Tel: 0212 493 33 00

TMMOB Maden Mühendisleri Odası
Selanik Cad. No: 19/4 06650 Kızılay – Ankara
Tel : + 90 (312) 425 10 80 Fax: +90 (312) 417 52 90
Web: www.maden.org.tr E-posta: maden@maden.org.tr

TMMOB Maden Mühendisleri Odası İstanbul Şubesi
Büyükdere Cad. Çınar Apt. No: 95 Kat:8 Daire:31
Mecidiyeköy – İstanbul Fax: +90 (212) 356 74 12
Tel: +90 (212) 356 74 10 E-posta: istanbul@maden.org.tr

Sempozyum kitabının baskısı, Çiftay İnşaat Taahhüt ve Tic. A.Ş. tarafından gerçekleştirilmiştir.

YÜRÜTME KURULU / EXECUTIVE COMMITTEE

| | | |
|-------------------|---------------------------|-----------------|
| Başkan | Dr. Ümit ÖZER | (İÜ) |
| Başkan Yardımcısı | Nihat Alpin MÜTEVELLİOĞLU | (MMO) |
| Sekreterler | Dr. Abdulkadir KARADOGAN | (BİLİMSEL) (İÜ) |
| | Mesut ERKAN | (TEKNİK) (MMO) |
| | Selçuk ŞİMŞEK | (SAYMAN) (MMO) |
| Üyeler | Necmi ERGİN | (MMO) |
| | Mehmet ÖZYURT | (MMO) |
| | Nedret DİNER DURUKAN | (MMO) |
| | Büşra ERTUĞRUL | (MMO) |
| | Hürriyet DEMİRHAN | (MMO) |
| | Nahit ARI | (MMO) |
| | Dr. Türker HÜDAVERDİ | (İTÜ) |
| | Umut ATLIHAN | (MMO) |
| | Ülkü KALAYCI | (İÜ) |
| | Meriç Can ÖZYURT | (İÜ) |
| | H. İbrahim İŞCEN | (KIRLIOĞLU) |
| | Müfit ERDİL | (KAPEKS) |
| | Hidayet OSMANOĞLU | (ORİCA) |
| | Gökhan HALICILAR | (NİTROMAK) |
| | Gökhan MERTLER | (YAVAŞÇALAR) |
| | Ümit KILIÇ | (MADSER) |
| | Bekir KARABEKMEZ | (MAKSAM) |
| | Oğuz ÖZKAZANÇ | (SOLAR) |
| | Orhan PATIR | (KOMANDO) |

BİLİM KURULU / SCIENTIFIC COMMITTEE

| | | | |
|--------------------------|--------|--------------------------|--------|
| Dr. Ömür ACAROĞLU | (İTÜ) | Dr. Ali KAHRİMAN | (OÜ) |
| Dr. Hakan AK | (OGÜ) | Dr. Abdulkadir KARADOGAN | (İÜ) |
| Dr. Hürriyet AKDAŞ | (OGÜ) | Dr. Doğan KARAKUŞ | (DEÜ) |
| Dr. Nuri Ali AKÇİN | (BEÜ) | Dr. Celal KARPUZ | (ODTÜ) |
| Dr. Ufuk Gökhan AKKAYA | (İÜ) | Dr. Ayhan KESİMAL | (KTÜ) |
| Dr. Özgür AKKOYUN | (DÜ) | Dr. Ahmet Mahmut KILIÇ | (ÇU) |
| Dr. Raşit ALTINDAĞ | (SDÜ) | Dr. Mehmet Sıddık KIZİL | (QU) |
| Dr. Ercan ARPАЗ | (KÜ) | Dr. Gürcan KONAK | (DEÜ) |
| Dr. Hasan Aydin BİLGİN | (ODTÜ) | Dr. Mustafa KUMRAL | (MU) |
| Dr. Nuh BİLGİN | (İTÜ) | Dr. Cengiz KUZU | (İTÜ) |
| Dr. Niyazi BİLİM | (SÜ) | Dr. Ahmet Hakan ONUR | (DEÜ) |
| Dr. Ahmet DAĞ | (ÇÜ) | Dr. Ümit ÖZER | (İÜ) |
| Dr. Hasan ERGİN | (İTÜ) | Dr. Hakan TUNÇDEMİR | (İTÜ) |
| Dr. Kazım GÖRGÜLÜ | (CÜ) | Dr. Bülent TÜTMEZ | (İÜ) |
| Dr. Mehmet Ali HİNDİSTAN | (HÜ) | Dr. G. Gülsev UYAR | (HÜ) |
| Dr. Türker HÜDAVERDİ | (İTÜ) | Dr. Önder UYSAL | (DÜ) |
| Dr. Melih İPHAR | (OGÜ) | Dr. Bahtiyar ÜNVER | (HÜ) |
| Dr. Sair KAHRAMAN | (HÜ) | Dr. Olgay YARALI | (BEÜ) |

(İsimler soyadına göre alfabetik olarak verilmiştir.)

Bir Taşocağında Kullanılacak Saha Sarsıntı Yayılm Denkleminin Belirlenmesi

Determination of Site Specific Vibration Attenuation in a Quarry

Ü. Kalaycı, Ü. Özer, A. Karadoğan, M.C. Özyurt

İstanbul Üniversitesi Mühendislik Fakültesi Maden Mühendisliği Bölümü, Avcılar, İstanbul

ÖZET Çalışmanın amacı, İstanbul/Türkiye'de bulunan bir taşocağında, yapılacak bir patlatma uygulaması ile oluşacak titreşimlerin büyüklüğünü tahmin edecek saha sarsıntı yayılım denklemini belirleyebilmektir. Bu amaçla çalışma sahasında son 12 yılda yapılmış patlatmalardan elde edilen saha sarsıntı yayılım denklemleri, tahmin kabiliyetleri bakımından, sahadan alınmış 102 adet titreşim kaydı test verisi olarak kullanılmak suretiyle analiz edilmiştir. Çalışmanın sonucunda bir saha için en uygun sarsıntı yayılım denklemi seçim yöntemi ve kriterleri açıklanmıştır.

ABSTRACT The aim of this study is to forecast the site specific vibration attenuation formula to evaluate the magnitude of vibrations formed by blasting in a quarry operating in Turkey/Istanbul. For this purpose, different site specific vibration attenuation equations obtained from the study area in the past 12 years, forecasting capabilities according to designated new conditions, using 102 vibration records as test data obtained from the study area was investigated. Finally, the process of selecting the most appropriate equation according to different target criteria was presented and explained.

1 GİRİŞ

Maden ve taşocaklarında, patlatma tekniklerinin ekonomik ve üretimsel faydalarının yanı sıra pek çok olumsuz yan etkisi de bulunmaktadır. Öncelikle, patlatmalardan kaynaklanan sismik dalgalar, çevresindeki yapılarda hasara neden olurlar (Kalaycı 2011).

Patlatma kaynaklı titreşim yayılımı üzerine geçmişten günümüze pek çok değerli çalışma ortaya konmuştur. Bu çalışmaların temel amacı çevresel sorunları izole etmek, yan amaçlar ise patlatmanın performansını denetlemek ve yapıların tepkisini tahmin ve kontrol etmektir (Dowding 1985; Ambraeys et al. 1968; Ghosh 1983).

Dowding 1985; Ghosh 1983; Gupta vd, 1988; Nicholls vd, 1971, ölçekli mesafe, gecikme başına şarj miktari ve maksimum parçacık hızını belirleyici parametreler olarak göz önünde bulundurmuş ve analiz tekniği olarak istatistiksel yöntemler kullanmışlardır.

Bilindiği üzere, patlatma kaynaklı titreşim dalgaları taşıdıkları enerji düzeyinde hasara neden olurlar. Titreşimlerin enerji seviyeleri parçacık hızı (mm/sn), parçacık yer değiştirmesi (mm), parçacık ivmesi ve dalga frekansıyla tayin edilir. Bu bileşenler birbirlerine dönüştürülebilir niteliktedirler (Dowding 1985; Ambraseys et al. 1968; Jimeno et al. 1995; Karadoğan 2008; Faramarzi et al. 2014).

Parçacık hızı tahmininde konunun karmaşıklığı ve ortamın kaotik yapısı nedeniyle hala tam çözüm sunabilecek tahmin metodu geliştirilememiştir. Yine de yaygın bir şekilde kabul görmüş empirik maksimum parçacık hızı yayılım denklemi 1 nolu eşitlikteki gibi üssel eşitlik formunda yazılabilir (Dowding 1985);

$$PPV = k * \left(\frac{R}{W^{0,5}}\right)^{-\beta} \quad (1)$$

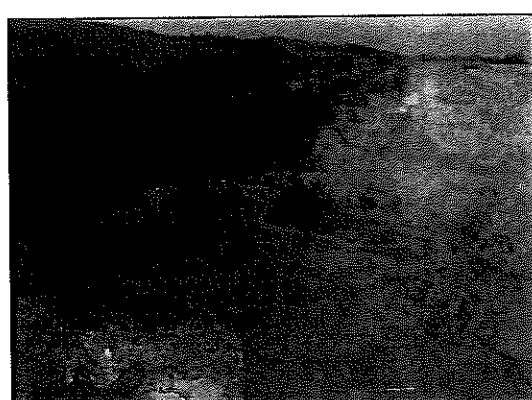
Burada PPV maksimum parçacık hızı, W , gecikme başına maksimum şarj, R atım noktası ile ölçüm istasyonu noktası arasındaki mesafedir.

Bu çalışmada İstanbul Türkiye'de bulunan bir taşocağında yapılan patlatmalardan kaynaklanan titreşimler 12 yıl boyunca izlenmiş ve titreşim analizleri literatürde kabul gören PPV tahmin denklemi kullanılarak incelenmiştir. Her bir çalışmada farklı tahmin yapan denklem elde edildiği görülmüştür. Çalışmada, bu denklemlerden hangisinin seçilmesi gerektiği irdelenmiştir.

Bahsedilen denklemlerin tahmin kabiliyetlerini değerlendirmek için 102 adet titreşim kaydı test verisi olarak, denklem tahmin kabiliyetlerini ölçmek üzere kullanılmıştır. Test atımları mesafe ve şarj bilgilerine göre farklı grplara ayrılmıştır. Her bir grup için geçmiş yıllarda elde edilen denklemler ile tahmin yaptırılmış ve sonuçları irdelenmiştir.

2 ÇALIŞMA SAHASI

1994 yılından beri faaliyyette bulunan Akyol Mıçır ve Mermer San. Tic. A.Ş'nın kireçtaşısı ocağı, Marmara Bölgesinin Trakya kesiminde İstanbul ili sınırları içerisinde bulunan Çatalca ilçesinin Muratbey Beldesinin hemen güneyinde yer almaktadır. Çalışmanın yer bulduru haritası Şekil 1'de verilmiştir. Çalışma sahasının yerleşim birimlerine olan uzaklığı 300 metredir.



Şekil 1. Taşocağının yer bulduru haritası.

2.1. Jeoloji

İnceleme alanında temeli teşkil eden bitim şistlerdir. Şistlerin üzerinde Kırklareli formasyonuna ait kireçtaşları ve marn düzeyleri bulunmaktadır. İnceleme alanında en üstte Gürpinar formasyonuna ait kömür bantları içeren kil, kumlu kil ve çok zayıf dayanımlı kumtaşları ve kilittaşları ardalanması bulunmaktadır. Ocağın güney batısında şistler faylanmadan dolayı değişik kotlarda yüzeylenmektedir. Ayrıca şist düzeyleri ocağın kuzey batı kenarında da bulunmaktadır. Ocakta ana litoloji yaklaşık 100 m kalınlıkta kireçtaşlarıdır. Ocağın batı kenarında 3-4 m kalınlıkta Gürpinar formasyonuna ait mostralalar varken, bu düzeyler ocaktan 25 m uzaklıkta bir alanda 54 metreden daha kalın bir istif sunmaktadır. Bu istif saha gözlemlerine göre tahmin edilemeyen bir özelliktir (Dalgıç ve Özer, 2009).

İncelenen taşoacıdan alınan kireçtaşları örnekleri üzerinde kaya mekanığı laboratuvar deneyleri gerçekleştirilmiş ve elde edilen sonuçlar petrografik özelliklerle birlikte Çizelge 1'de verilmiştir (Kalaycı 2011; Adiguzel, 2012).

Çizelge 1. Çalışma sahasının fiziko-mekanik özellikleri.

| | |
|---|---------|
| Yoğunluk (g/cm ³) | 2.66 |
| Ultrasonik Ses Hızı (m/sn) | 5027,15 |
| Tokluk Dayanımı (MPa.m ^{1/2}) | 1,31 |
| TEBD (MPa) | 62,4 |
| Çekme Dayanımı (MPa) | 3,3 |

2.2. Önceki Çalışmalar

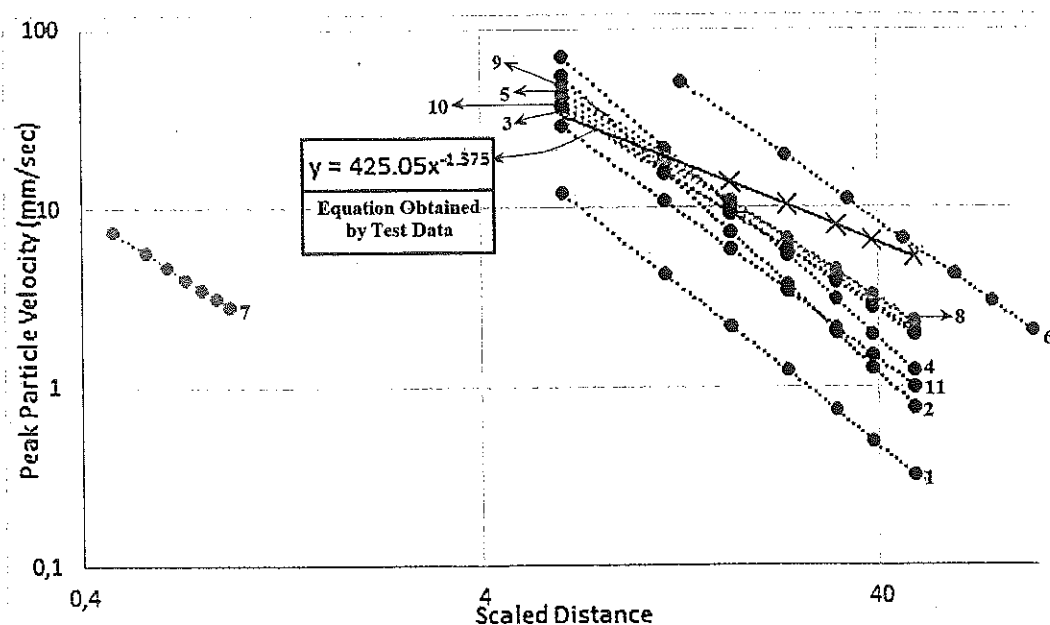
Çalışma kapsamında aynı sahada geçmiş 12 yıl içerisinde analiz edilmiş verilerden (güncel çalışma hariç) elde edilmiş 11 farklı saha sarsıntı yayılım denklemi irdelenmiştir. Geçmiş yıllara ait tahmin denklemeleri, kaç olay ile değerlendirildiği, korelasyon katsayıları ve araştırmacılar Çizelge 2'de verilmiştir. Bu denklemelerde 2379 olay değerlendirilmiştir (5-6-7 no'lu denklemelerde aynı olaylar kullanılmıştır). 7 no'lu eşitlik hariç korelasyon katsayıları 0,8'in üzerindedir.

Çizelge 2. Geçmiş yıllarda yapılmış PPV tahmin denklemeleri.

| Denklem No | PPV Tahmin Denklemi | Olay Sayısı | Belirleme Katsayısı (r^2) | Referans |
|------------|---|-------------|-------------------------------|-----------------------|
| 1 | $PPV = 340 \left(\frac{R}{W^{\frac{1}{2}}} \right)^{-1,79}$ | 120 | 0,837 | Kahriman et al, 2003. |
| 2 | $PPV = 578,92 \left(\frac{R}{W^{\frac{1}{2}}} \right)^{-1,4621}$ | 302 | 0,7332 | Adigüzel, 2006. |
| 3 | $PPV = 495 \left(\frac{R}{W^{\frac{1}{2}}} \right)^{-1,407}$ | 476 | 0,65 | Kahriman et al, 2007. |

| | | | | |
|----|--|-----|--------|------------------------|
| 4 | $PPV = 2874 \left(\frac{R}{W^2} \right)^{-1.993}$ | 16 | 0,7921 | Karadoğan et al, 2009. |
| 5 | $PPV = 691.83 \left(\frac{R}{W^2} \right)^{-1.47}$ | 582 | 0,65 | Özer et al, 2008. |
| 6 | $PPV = 2818.38 \left(\frac{R}{W^3} \right)^{-1.58}$ | 582 | 0,72 | Özer et al, 2008. |
| 7 | $PPV = 2.57 \left(\frac{W}{\sqrt[3]{R^2}} \right)^{1.44}$ | 582 | 0,17 | Özer et al, 2008. |
| 8 | $PPV = 564 \left(\frac{R}{W^2} \right)^{-1.41}$ | 754 | 0,6561 | Karadoğan et al, 2009. |
| 9 | $PPV = 948.7 \left(\frac{R}{W^2} \right)^{-1.58}$ | 30 | 0,8464 | Özer et al, 2009. |
| 10 | $PPV = 2828 \left(\frac{R}{W^2} \right)^{-2.11}$ | 15 | 0,7921 | Özer et al, 2010. |
| 11 | $PPV = 623.14 \left(\frac{R}{W^2} \right)^{-1.653}$ | 75 | 0,64 | Kalayci, 2011. |

Grafiği çizmek için aynı mesafe ve şarj verilerinden Çizelge 2'deki denklemler kullanılarak PPV değerleri hesaplanmıştır. 6. ve 7. eşitlikte farklı ölçekli mesafe (SD) yaklaşımı kullanılmıştır. Çizelge 2'de verilen 11 ayrı tahmin denkleminin grafik görüntüsü ve güncel çalışmada elde edilen saha sarsıntı yayılım denklemi Şekil 2'de toplu halde sunulmuştur.



Şekil 2. Maksimum parçacık hızı tahmin denklemleri.

Grafikten görüldüğü üzere aynı mesafe ve şarj miktarında aynı saha için bir denklem 7mm/sn PPV hesaplarken bir diğer denklem 70 mm/sn hesaplamaktadır. Bu grafik denklemlerin aynı mesafe ve şarj koşullarındaki tahmin hattını göstermek için oluşturulmuştur. Eğriler çizilirken sadece sunum amacıyla $r=50\text{ m}$ $W=60\text{ kg}$ olacak şekilde sabit değer alınmıştır.

2.3. Test Yöntemi

Denklemleri incelemek üzere test verisi olarak kullanılan 102 adet titreşim kaydı, farklı zamanlarda izlenen 14 atımdan elde edilmiştir. Söz konusu atım bilgileri, tasarım parametreleri, delik geometrisi ve ateşleme bilgileri, patlayıcı madde bilgileri, istasyon noktalarının koordinatları ve titreşim ölçümleri oluşturulan patlatma veri formlarına her atım için ayrı ayrı kaydedilmiştir. Atımlarda, patlayıcı olarak ANFO, yemleyici olarak POWERGEL ve ateşleyici olarak da gecikmeli elektriksiz kapsüller kullanılmıştır. Atımlar sahanın mühendislerinin uyguladığı haliyle, müdahale edilmeden gözlemlenerek kayıt altına alınmıştır. Sismik ölçütler 8 adet instantel minimate plus marka titreşim ölçüm cihazıyla yapılmıştır. Söz konusu cihazların titreşim ölçüm ve frekans aralıkları sırasıyla $0\text{-}245\text{ mm/sn}$ ve $2\text{-}100\text{ Hz}$ 'dır.

2.3.1. Atım Tasarım Parametreleri

Izlenen atımlara ait basamak patlatma tasarım parametreleri Çizelge 3'te, titreşim bileşenlerine ait özet bilgiler Çizelge 4'te, atım noktalarının koordinatları Çizelge 5'te, ölçüm alınan istasyonların koordinatları ise Çizelge 6'da verilmektedir. Tüm atımlarda aynı gecikme aralığı ve aynı patlayıcı türü (ANFO) kullanılmıştır. Ölçütler 35 farklı istasyonda yapılmıştır. Ayrıca atım ve istasyon noktalarının görsel sunumu Şekil 3'te verilmiştir.

Çizelge 3. Atım tasarım parametreleri.

| Atım No | Delik Sayısı | Delik Çapı (mm) | Basamak Yüksekliği (m) | Delik Boyu (m) | Dilim Kalmalığı (m) | Delikler Arası Mesafe (m) | Toplam Şarj (kg) | Gecikme Başına Top. Şarj (kg) |
|---------|--------------|-----------------|---------------------------|-------------------|------------------------|------------------------------|---------------------|----------------------------------|
| 1 | 10 | 89 | 9 | 10 | 2,7 | 2,7 | 608 | 61 |
| 2 | 12 | 89 | 10 | 11,5 | 2,7 | 2,7 | 263 | 22 |
| 3 | 11 | 89 | 10,5 | 11,5 | 2,7 | 2,7 | 229 | 21 |
| 4 | 18 | 89 | 9 | 10 | 2,7 | 2,7 | 360 | 20 |
| 5 | 10 | 89 | 8 | 9 | 2,5 | 2,5 | 280 | 28 |
| 6 | 8 | 89 | 9 | 10 | 2,7 | 2,7 | 398 | 50 |
| 7 | 9 | 89 | 10,5 | 11,5 | 2,7 | 2,7 | 454,5 | 50,5 |
| 8 | 6 | 89 | 10,5 | 11,5 | 2,7 | 2,7 | 298 | 50 |
| 9 | 3 | 89 | 9 | 10 | 2,7 | 2,7 | 151,5 | 50,5 |
| 10 | 9 | 89 | 11 | 12 | 2,7 | 2,7 | 529 | 59 |
| 11 | 4 | 89 | 8,5 | 2,9 | 2,5 | 2,5 | 64 | 27 |
| 12 | 10 | 89 | 8,5 | 9 | 2,5 | 2,5 | 460 | 27 |
| 13 | 10 | 89 | 7,5 | 8,5 | 2,7 | 2,7 | 255 | 30 |
| 14 | 5 | 89 | 10,5 | 11,5 | 2,7 | 2,7 | 153 | 30 |

Çizelge 4. Titreşim kaydı parametreleri.

| Atıf No | Mak. Parçacık Hızı (PPV) (mm/sn) | Frekans f (Hz) | Ölçeki Mesafe (SD) | İstasyon No | Atıf No | Max. Parçacık Hızı (PPV) (mm/sn) | Frekans f (Hz) | Ölçeki Mesafe (SD) | İstasyon No | Atıf No | Max. Parçacık Hızı (PPV) (mm/sn) | Frekans f (Hz) | Ölçeki Mesafe (SD) | İstasyon No |
|---------|--|-------------------|-----------------------|-------------|---------|--|-------------------|-----------------------|-------------|---------|--|-------------------|-----------------------|-------------|
| 1 | 1.78 | 16 | 39.27 | 1 | 2 | 5.97 | 42.7 | 48.77 | 1 | 3 | 2.41 | 46.5 | 36.94 | 1 |
| | 6.98 | 34.1 | 17.74 | 2 | | 9.52 | 46.5 | 26.7 | 2 | | 1.52 | 39.4 | 37.74 | 2 |
| | 15.1 | 42.7 | 15.18 | 3 | | * | * | 33.11 | 3 | | 1.14 | 30.1 | 40.29 | 3 |
| | 3.05 | 24.4 | 27.19 | 4 | | 21.3 | 73.1 | 19.45 | 4 | | 1.4 | 34.1 | 31.39 | 4 |
| | 4.7 | 17.7 | 34.17 | 5 | | 7.11 | 39.4 | 50.85 | 5 | | 6.48 | 42.7 | 26.94 | 5 |
| | * | * | 12.15 | 6 | | 1.52 | 21.3 | 71.1 | 6 | | 2.16 | 17.7 | 53.35 | 6 |
| | 3.56 | 28.4 | 28.71 | 7 | | 1.78 | 34.1 | 71.3 | 7 | | 7.37 | 30.1 | 24.12 | 7 |
| | * | * | 33.48 | 8 | | 2.03 | 7.76 | 81.81 | 8 | | * | * | 34.42 | 8 |
| | 35.1 | 17.7 | 13.86 | 9 | | 2.54 | 17.1 | 57.46 | 9 | | 9.02 | 34.1 | 17.83 | 9 |
| | 1.65 | 30 | 82.66 | 10 | | 0.76 | 48.6 | 83.06 | 10 | | 39 | 73.1 | 10.37 | 21 |
| 4 | 8.51 | 73 | 37.24 | 11 | | * | * | 18.44 | 11 | | 5.21 | 85.3 | 15.69 | 22 |
| | 3.56 | 23 | 40.23 | 12 | | 1.52 | 34 | 38.44 | 12 | | 4.7 | 19 | 17.07 | 23 |
| | 1.78 | 20 | 82.13 | 13 | | 3.43 | 13 | 63.13 | 13 | | 6.6 | 73.1 | 15.69 | 24 |
| | 1.4 | 27 | 65.31 | 14 | 5 | 3.3 | 30 | 47.54 | 14 | | 18.3 | 26.9 | 13.23 | 25 |
| | 3.05 | 23 | 72.53 | 15 | | 3.94 | 20 | 55.8 | 15 | | 4.19 | 25.6 | 17.99 | 26 |
| | * | * | 27.2 | 17 | | 10.2 | 17 | 22.24 | 17 | | * | * | 70.76 | 27 |
| | 4.44 | 34 | 29.85 | 18 | | 1.78 | 20 | 27.29 | 18 | | | | | |
| | 2.29 | 32 | 44.17 | 19 | | 3.05 | 24 | 24.2 | 19 | | | | | |
| | 4.06 | 22 | 58.3 | 20 | | 6.35 | 19 | 36.26 | 20 | | | | | |
| 7 | 4.57 | 73.1 | 21.2 | 21 | | 4.19 | 46.5 | 20.96 | 21 | 8 | 0.889 | 32 | 26.9 | 22 |
| | 0.889 | 26.9 | 26.91 | 22 | | 1.27 | 34.1 | 29.67 | 22 | | 1.14 | 13 | 24.11 | 23 |
| | 2.41 | 22 | 30.11 | 23 | | 2.41 | 20 | 31.15 | 23 | | 3.56 | 100 | 17.41 | 24 |
| | 2.67 | 25.6 | 27.09 | 24 | | 3.3 | 26.9 | 26.62 | 24 | | 57.4 | 9.48 | 2.4 | 25 |
| | 9.4 | 32 | 14.97 | 25 | | 16 | 28.4 | 12.71 | 25 | | 0.889 | 39.4 | 23.48 | 26 |
| | 1.14 | 28.4 | 30.92 | 26 | 11 | 1.4 | 16 | 31.47 | 26 | | * | * | 83.45 | 27 |
| | 0.762 | 24.4 | 71.13 | 27 | | 0.762 | 23.3 | 74.11 | 27 | | | | | |
| | 0.508 | 39.4 | 41.8 | 21 | | 22.4 | 28.4 | 10.31 | 28 | | 53.3 | 64 | 8.49 | 28 |
| | * | * | 37.71 | 22 | | 34.8 | 100 | 8.09 | 29 | | 40.4 | 73.1 | 9.22 | 29 |
| | 0.889 | 18.3 | 46.45 | 23 | | 24.3 | 34.1 | 10.01 | 30 | | 41.3 | 39.4 | 10.02 | 30 |
| 10 | 0.508 | 25.6 | 47.28 | 24 | | 40.5 | 51.2 | 10.15 | 31 | 12 | 45.6 | 46.5 | 11.7 | 31 |
| | 1.52 | 26.9 | 38.12 | 25 | | 39.9 | 56.9 | 7.69 | 32 | | 53.7 | 64 | 10.42 | 32 |
| | 0.254 | 100 | 48.47 | 26 | | 22.5 | 56.9 | 10.34 | 33 | | 24.6 | 42.7 | 13.12 | 33 |
| | 2.03 | 28.4 | 43.07 | 27 | | 8.25 | 100 | 12.39 | 34 | | 10.9 | 34.1 | 15.13 | 34 |
| | * | * | 69.69 | 35 | | 6.48 | 36.6 | 16.77 | 35 | | 12.8 | 39.4 | 17.83 | 35 |
| | 2.92 | 32 | 46.18 | 28 | 14 | 2.41 | 34.1 | 46.35 | 28 | | | | | |
| | 0.889 | 100 | 52.83 | 29 | | 0.762 | 32 | 52.69 | 29 | | | | | |
| | 2.29 | 34.1 | 49.22 | 30 | | 2.29 | 30.1 | 49.11 | 30 | | | | | |
| | 2.67 | 46.5 | 54.2 | 31 | | 1.9 | 32 | 53.97 | 31 | | | | | |
| | 0.762 | 64 | 62.9 | 32 | | 0.762 | 39.4 | 63 | 32 | | | | | |
| 13 | * | * | 64.58 | 33 | | 0.508 | 32 | 64.61 | 33 | | | | | |
| | 0.508 | 39.4 | 62.86 | 34 | | 0.635 | 39.4 | 62.68 | 34 | | | | | |
| | * | * | 69.69 | 35 | | * | * | 70.18 | 35 | | | | | |
| | | | | | | | | | | | | | | |

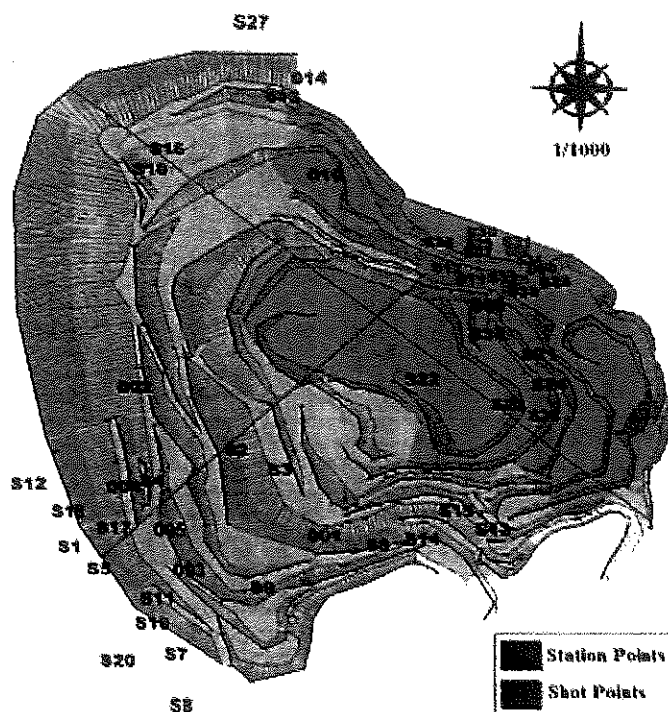
* Yeterli genlikte sismik dalga oluşmadığından kayıt alınamamıştır.

Çizelge 5. İstasyon noktalarının koordinatları.

| İstasyon No. | İstasyon Noktası Koordinatları | | | İstasyon No. | İstasyon Noktası Koordinatları | | | İstasyon No. | İstasyon Noktası Koordinatları | | |
|--------------|--------------------------------|--------|-----|--------------|--------------------------------|--------|-----|--------------|--------------------------------|--------|----|
| | Y | X | Z | | Y | X | Z | | Y | X | Z |
| 1 | 4549644 | 625467 | 116 | 13 | 4549674 | 625940 | 52 | 25 | 4549967 | 626022 | 44 |
| 2 | 4549760 | 625679 | 17 | 14 | 4549652 | 625857 | 54 | 26 | 4549814 | 625997 | 54 |
| 3 | 4549757 | 625712 | 17 | 15 | 4549696 | 625900 | 52 | 27 | 4550314 | 625637 | 52 |
| 4 | 4549737 | 625569 | 44 | 16 | 4550134 | 625591 | 59 | 28 | 4550029 | 625902 | 25 |
| 5 | 4549612 | 625510 | 111 | 17 | 4549678 | 625504 | 110 | 29 | 4550026 | 625950 | 25 |
| 6 | 4549653 | 625857 | 59 | 18 | 4549696 | 625477 | 111 | 30 | 4550036 | 625934 | 35 |
| 7 | 4549501 | 625609 | 96 | 19 | 4549547 | 625578 | 79 | 31 | 4550028 | 625963 | 35 |
| 8 | 4549450 | 625608 | 93 | 20 | 4549485 | 625567 | 90 | 32 | 4549967 | 625969 | 15 |
| 9 | 4549591 | 625690 | 89 | 21 | 4549891 | 626004 | 44 | 33 | 4549966 | 625983 | 25 |
| 10 | 4550108 | 625593 | 69 | 22 | 4549839 | 625882 | 50 | 34 | 4549993 | 625996 | 35 |
| 11 | 4549576 | 625580 | 66 | 23 | 4549814 | 625971 | 59 | 35 | 4549902 | 625949 | 15 |
| 12 | 4549717 | 625419 | 116 | 24 | 4549858 | 626031 | 40 | | | | |

Çizelge 6. Atım noktası koordinatları.

| Atım No. | Atım Noktası Koordinatları | | | Atım No. | Atım Noktası Koordinatları | | |
|----------|----------------------------|--------|----|----------|----------------------------|--------|----|
| | Y | X | Z | | Y | X | Z |
| 1 | 4549653 | 625764 | 40 | 8 | 4550032 | 625961 | 35 |
| 2 | 4549827 | 625574 | 30 | 9 | 4549980 | 626011 | 45 |
| 3 | 4549602 | 625618 | 52 | 10 | 4550102 | 625763 | 35 |
| 4 | 4549740 | 625579 | 37 | 11 | 4549988 | 625935 | 15 |
| 5 | 4549669 | 625606 | 52 | 12 | 4549990 | 625920 | 15 |
| 6 | 4549923 | 625945 | 15 | 13 | 4550212 | 625732 | 65 |
| 7 | 4550023 | 625932 | 35 | 14 | 4550222 | 625742 | 65 |



Bu çalışma kapsamında sahanın farklı bölgelerinden ve farklı tarihlerde yapılan 14 adet atıma ait toplam 102 adet titreşim verisi mesafe ve şarjlarına göre 8 gruba ayrılmıştır. Elde edilen verilerde yapılan incelemeye göre gecikme başına şarj değeri tüm atımlarda 20-30 kg ve 50-60 kg arasındadır, gruplama yapılırken bu değerler dikkate alınmıştır. Ayrıca mesafe için 0-100 m, 100-200 m, 200-300 m ve 300-500 m'deki atımlar gruplandırılmıştır. Gruplandırılan atım parametreleri kullanılarak Çizelge 3'de verilen denklemler ile PPV tahmini yapılmış, ölçülen değerler ile her denklem için yapılan tahminlerin arasındaki mutlak farkları hesaplanmış ve her denklem için elde edilen farkların ortalamaları alınmıştır (Çizelge 7). Bu bilgiler ışığında, farklı mesafe ve şarj bilgilerine göre 8 ayrı grup oluşturulmuştur. Tahmin farkı ortalaması aşağıdaki eşitlikte ifade edilen şekilde hesaplanmıştır.

$$\sum_1^n \frac{PPVm - PPVp}{n} \quad (2)$$

Burada $PPVm$, test atımlarında ölçülen PPV değeri, $PPVp$, her bir denklem ile hesaplanan PPV değeri, n , belirlenen mesafe ve şarj grubundaki veri sayısıdır.

Çizelge 7. Farklı mesafe gruplarına göre hesaplanan tahmin farkı ortalamaları.

| Tanım | Gerçek değerler ile tahmin değerleri arasındaki farkın ortalaması | | | | | | | | | | |
|---------------------------|---|------|------|------|------|------|------|------|------|-------|-------|
| | Eş.1 | Eş.2 | Eş.3 | Eş.4 | Eş.5 | Eş.6 | Eş.7 | Eş.8 | Eş.9 | Eş.10 | Eş.11 |
| 0-100 m / 20-30 kg şarj | 10.1 | 9.2 | 23.6 | 12.7 | 9.4 | 11.1 | 10.7 | 9.6 | 16.4 | 12.3 | 22.8 |
| 0-100 m / 50-60 kg şarj | 31.8 | 41.5 | 23.7 | 25.4 | 39.4 | 27.7 | 75.5 | 82.8 | 28.2 | 28.0 | 19.0 |
| 100-200 m / 20-30 kg şarj | 2.7 | 2.7 | 3.2 | 2.7 | 2.7 | 2.7 | 3.3 | 3.0 | 3.3 | 2.7 | 4.3 |
| 100-200 m / 50-60 kg şarj | 5.5 | 5.7 | 3.7 | 4.7 | 5.3 | 5.3 | 3.1 | 4.6 | 3.2 | 4.6 | 4.7 |
| 200-300 m / 20-30 kg şarj | 1.8 | 1.7 | 1.9 | 1.9 | 1.9 | 1.8 | 2.7 | 2.4 | 2.5 | 1.9 | 3.1 |
| 200-300 m / 50-60 kg şarj | 2.7 | 2.7 | 1.9 | 2.4 | 2.6 | 2.7 | 1.7 | 1.9 | 1.7 | 2.3 | 2.5 |
| 300-500 m / 20-30 kg şarj | 1.5 | 1.4 | 1.4 | 1.5 | 1.5 | 1.4 | 1.8 | 1.6 | 1.7 | 1.5 | 2.0 |
| 300-500 m / 50-60 kg şarj | 1.4 | 1.2 | 1.8 | 1.2 | 1.1 | 1.4 | 0.5 | 0.6 | 0.5 | 1.1 | 0.6 |

Çizelge 7 incelendiğinde, 300-500 m mesafede 50-60 kg şarj için en iyi tahmin yapan denklemler 7. ve 9. denklemler iken aynı mesafede 20-30 kg şarj için en iyi tahmin yapan denklemler 2., 3. ve 5. denklemlерdir. Yakın mesafede gerçek değerden sapma oranlarının yüksek çıkışının nedeni ölçülen titreşim değerlerinin yüksek olmasıdır. Yapılan bu değerlendirme sonucunda, farklı mesafe ve şarj koşullarında farklı doğrulukta sonuçlar elde edildiği görülmüştür.

3 TARTIŞMA VE SONUÇ

Denklemlerin tahmin hattı dışındaki bir koşulda çözüm aranırken en yakın sonucu verecek denklemin belirlenmesi için, elde edilen bu 8 tahmin farkı ortalaması verilerinin yanı sıra karar verici olarak r^2 , her yıl ocak çukurunun derinleşmesi göz önünde bulundurularak verilerin toplandığı yıl ve veri sayısı değerlendirilmeye tabi tutulmuştur.

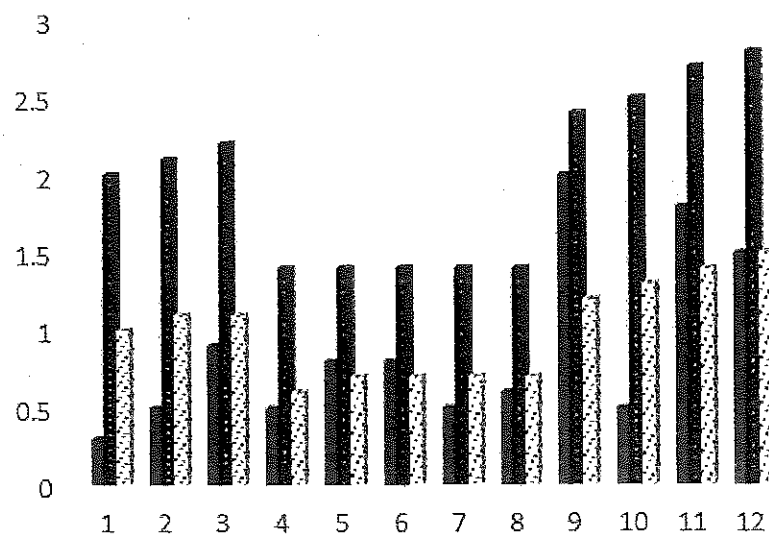
Bu kriterlerin çoğunluğunu sağlayan denklem olarak 11 no'lu denklem seçilmiştir. Belirlenen mesafe için seçilen denklemin test verileriyle elde edilen tahmin denkleminden daha iyi sonuç

verdiği görülmüştür (şarj miktarı arttığında ya da farklı bir mesafedeki hasar belirlenmek istendiğinde seçilmesi gereken denklemi belirleyecek yöntem tanıtılmıştır). 300 m mesafe ve 30-60 kg şarj aralığında test verilerinde ölçülen PPV değerleri, test verilerinden elde edilen tahmin denklemiyle hesaplanan PPV değerleri ve elde edilen tahmin denklemiyle hesaplanan PPV değerleri Çizelge 8'de sunulmaktadır.

Çizelge 8'deki verilerin histogram grafiği halinde sunumu Şekil 4'de verilmiştir. Şekil 4'de Yeşil renkli çubuklar test verilerini, Siyah renkli çubuklar test verilerinden elde edilen tahmin denklemiyle hesaplanan PPV değerlerini ve beyaz renkli çubuklar önerilen tahmin denklemiyle hesaplanan PPV değerlerini göstermektedir.

Çizelge 8. Test edilen ve tahmin edilen PPV değerleri.

| Test Verilerindeki PPV Değerleri | Gecikme Başına Şarj Miktarı | Mesafe | Test Verileri ile Elde Edilen Denklemin Tahmin Değerleri | Önerilen Denklemin Tahmin Değerleri |
|----------------------------------|-----------------------------|--------|--|-------------------------------------|
| 0.3 | 58.8 | 371.6 | 2.0 | 1.0 |
| 0.5 | 58.8 | 362.5 | 2.1 | 1.1 |
| 0.9 | 58.8 | 356.1 | 2.2 | 1.1 |
| 0.5 | 30.0 | 353.9 | 1.4 | 0.6 |
| 0.8 | 30.0 | 345.0 | 1.4 | 0.7 |
| 0.8 | 30.0 | 344.5 | 1.4 | 0.7 |
| 0.5 | 30.0 | 344.3 | 1.4 | 0.7 |
| 0.6 | 30.0 | 343.3 | 1.4 | 0.7 |
| 2.0 | 58.8 | 330.2 | 2.4 | 1.2 |
| 0.5 | 58.8 | 320.4 | 2.5 | 1.3 |
| 1.8 | 61.0 | 306.7 | 2.7 | 1.4 |
| 1.5 | 58.8 | 292.2 | 2.8 | 1.5 |



Şekil 4. Test verileri, test verilerinden elde edilen ve önerilen denklemin tahmin sonuçları.

Uzak mesafede hasar görme riski olan bina göz önünde bulundurulduğundan uzak mesafede en doğru tahmin yapan (tahminde hata oranı en düşük olan) denklem grubuna en yüksek puan verilmiştir. Daha sonraki uygulayıcı bu akışı örnek alarak kendi önem derecesini kendi belirleyebilir.

Geçmiş yıllarda oluşturulmuş denklemler incelendiğinde, malzeme yorulması göz önüne alınacak şekilde yıllara göre inceleme yapılmış ancak ilerleyen yıllara göre belirgin bir eğilim yakalanamamıştır. Ancak ocak geometrisi değiştiği için denklem yılının önem derecesi olduğu kanısına varılmıştır.

Hasar tahmininde bulunacak araştırmacıların değerlendirebileceği bazı öneriler aşağıda sıralanmıştır:

- Yönlerde göre analiz yapılmalı,
- Saha farklı jeolojik birimlere ayrılmalı, basamaklarla ve jeolojik birimlerle ve süreksızlık yapılarıyla ilişkilendirilmeli,
- Bir saha için oluşturulmuş saha sarsıntı yayılım denkleminin her atım için güvenilirliği olmadığı bilinmeli, uygun yöntemlerle analiz yapılmalı,
- Her atım için hasar riskinden endişe edilen bölgelerde sürekli kayıt alınmalı,
- Inelastik davranış gösterebilecek atım noktasına yakın bölgede bulunan zonlar ayrı değerlendirilmelidir.

Geçmiş yıllarda oluşturulmuş denklemler incelendiğinde, Malzeme yorulması göz önüne alınacak şekilde yıllara göre inceleme yapılmış ancak ilerleyen yıllara göre belirgin bir trend yakalanamamıştır. Ancak ocak geometrisi değiştiği için denklem yılının önem derecesi olduğu kanısına varılmıştır.

KAYNAKLAR

- Adiguzel D (2009) "Çatalca Yöresi Akyol Taş Ocağında Patlatmadan Kaynaklanan Titreşim Etkilerinin Araştırılması", Master Thesis, İstanbul Üniversitesi Fen Bilimleri Enstitüsü.
- Adiguzel D (2012) Determination of Optimal Aggregate Blending with Linear Programming in Concrete Production (PhD thesis) İstanbul University, Institute of Sciences.
- Ambraseys NR Hendron AJ (1968) Dynamic Behaviour of Rock Masses, in: Rock Mechanics in Engineering Practice, Editors: Stagg KG, Zienkiewicz OC, John Wiley and Sons, London, 203-207.
- Dalgıç, S., Özer, Ü., "Akyol Mıçır ve Mermer San. Tic. A.Ş. ye Ait Muratbey Kalker Ocağında Meydana Gelen Heyelanın Jeolojik -Jeoteknik Özelliklerine Ait Rapor", İ.Ü. Mühendislik Fakültesi, (2009).
- Dowding CH (1985) Blast Vibration Monitoring and Control, Prentice-Hall, USA.
- Faramarzi F, Ebrahimi Farsangi MA, Mansouri H (2014) Simultaneous Investigation of Blast Induced Ground Vibration and Airblast Effects on Safety Level of Structures and Human in Surface blasting. International Journal of Mining Science and Technology.
- Ghosh A, Daemen JJK (1983) A Simple New Blast Vibration Predictor (Based on Wave Propagation Laws), 24. U.S. Symp. on Rock Mechanics, June, 151-161.
- Gupta RN, Roy PP, Singh B (1988) On a Blast Induced Blast Vibration Predictor for Efficient Blasting, Safety in Mines Research Proceedings of The 22nd International Conference of Safety in Mines Research Institutes, Editor:Dai Guoquan.
- JÍMENO, C.L., Jimeno, E.L., Carcedo, F.J.A., Translated by Ramiro, Y.V., "Drilling and Blasting of Rocks", A.A., Balkema Publishers, Brookfield, ISBN: 90 5410 1977, Rotterdam Pp 390, (1995)

- Kalayci Ü (2011) The Investigation of Relationship Between Spending Useful Energy in Blasting with the Efficiency of Blasting, İstanbul University, Institute of Sciences, Master Thesis.
- Kahriman A., Tuncer G., Görgün S., Karadoğan A., Özdemir K, (2003) "Evaluation of The Ground Vibration Attenuation Produced From Blasting for the Different Rock Masses", Twenty-Ninth Annual Conference on Explosives and Blasting Technique, ABD, 02-05, vol.1, pp.193-201
- Kahriman 2007, Maden ve Taşocaklarında Kaya Patlatma Tekniği Seminer Notu.
- Karadoğan A, (2008) Patlatmadan Kaynaklanan Titreşimler İçin Ulusal Yapı Hasar Kriterleri Oluşturulabilirliğinin Araştırılması (PhD thesis) İstanbul University, Institute of Sciences.
- Karadoğan A., Kahriman A., Özer Ü (2009) "The Analysis of Blast-Induced Ground Vibrations for Different Rock Units", 9th International Multidisciplinary Scientific Geo-Conference & Expo: Modern Management of Mine Producing, Geology and Environmental Protection, SGEM 2009, Bulgaria, 14-19 pp.481-494
- Nicholls HR, Johnson CF, Duvall, WL (1971) Blasting Vibrations and Their Effects on Structure, United States Department of Interior, USBM, Bulletin 656.
- Özer Ü., Kahriman A., Karadoğan A., Kaya E., Açıkel G., Biçer S, (2008) "The Investigation of Ground Vibration Measurements at an Aggregate Quarry in Istanbul-Turkey", 8th International Multidisciplinary Scientific Geo-Conference & Expo: Modern Management of Mine Producing, Geology and Environmental Protection, SGEM, Bulgaria, 15-21 vol.1, pp.253-265.
- Özer Ü., Aksoy M., Adıgüzel D., Karadoğan A., Kahriman A., Özden H., Kara Y, (2009), "A Study of Investigating the Relationship Between Blast Fragmentation and Ground Vibrations Induced by Blasting", " 9th International Multidisciplinary Scientific Geo-Conference & Expo: Modern Management of Mine Producing, Geology and Environmental Protection, Bulgaria, vol.1, pp.333-340.
- Özer Ü., Aksoy M., Karadoğan A., Kalayci Ü., Adıgüzel D. (2010), "The Relationship Between Ground Vibration, Particle Size and Seismic Energy Caused by Blasting", 9th International Multidisciplinary Scientific Geo-Conference & Expo: Modern Management of Mine Producing, Geology and Environmental Protection, SGEM 2010, BULGARISTAN, vol.1, pp.575-582.